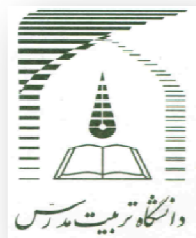


نام خداوند هستی بخش



دانشگاه تربیت مدرس

دانشکده کشاورزی

پایان نامه دوره کارشناسی ارشد رشته مهندسی مکانیک ماشین های کشاورزی

تحلیل و ارزیابی تنش، تخمین عمر خستگی و تحلیل هیدرودینامیک لایه روغن گژن پین موتور ملی EF7

نگارش:

محمد کاظمی

استاد راهنما:

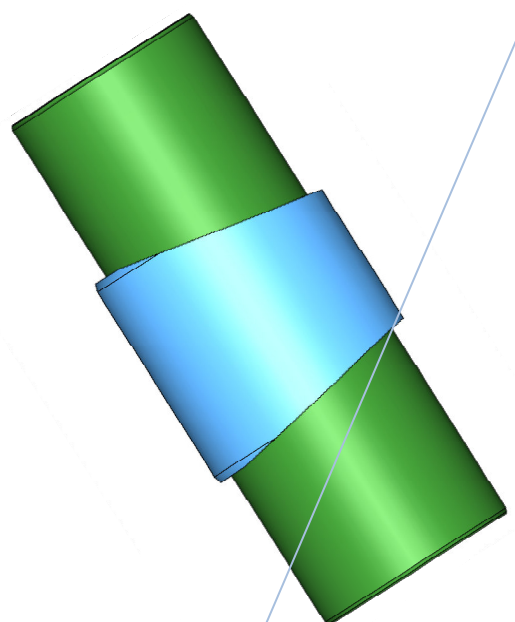
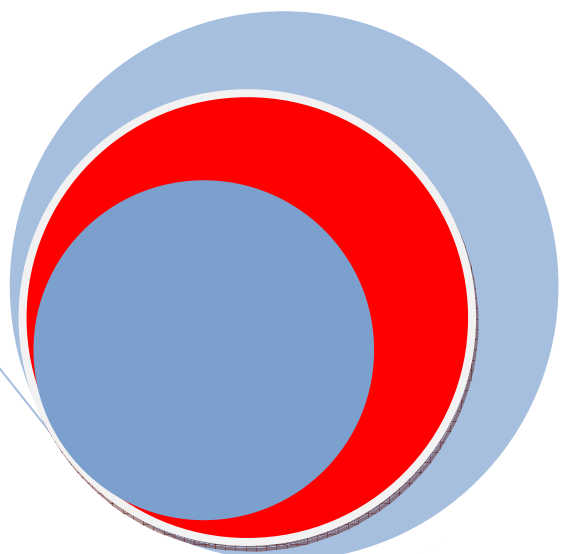
دکتر تیمور توکلی هشجین

استاد مشاور:

مهندس سیامک علیزاده‌نیا

(تحت حمایت مادی و معنوی شرکت تحقیق، طراحی و تولید موتور ایران حودرو (ایپکو. (IP.Co.

شهریور ۱۳۸۹

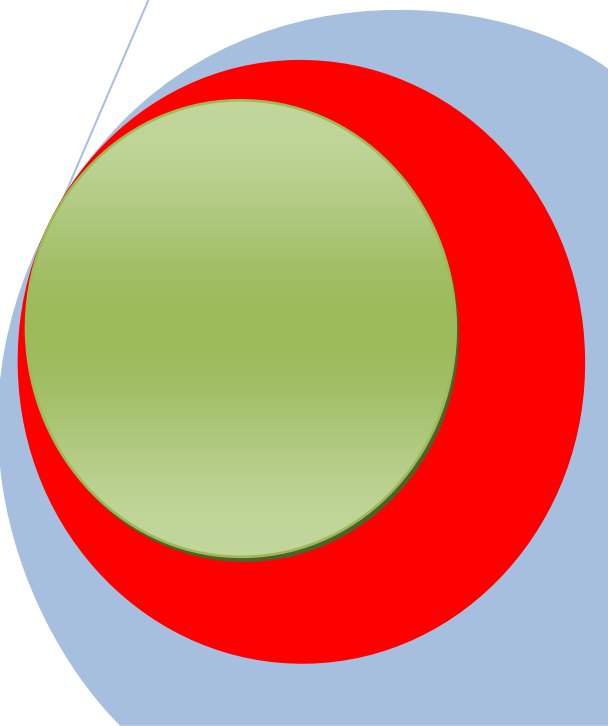


تحلیل و ارزیابی تنش، تخمین عمر خستگی و تحلیل هیدرودینامیک لایه روغن در گزن پین موتور EF7

Analysis and Evaluation Stress, Estimation of
Life Cycle Fatigue and Oil Film Hydrodynamic
Analysis of Gudgeon Pin EF7 Engine

By : Mohammad Kazemi

Sep 2010



بسمه تعالی

اعضای هیأت داوران نسخه نهایی پایان نامه آقای محمد کاظمی تحت عنوان: «تحلیل و ارزیابی تنش، تخمین عمر خستگی و تحلیل هیدرودینامیک لایه روغن در گزنهای موتور ملی EF7» را از نظر شکل (فرم) و محتوی بررسی نموده و پذیرش آن را برای دریافت درجه کارشناسی ارشد پیشنهاد می‌کنند.

این پایان نامه به ارزش ۶ واحد در تاریخ ۱۳۸۹/۶/۱ ارائه شد.

ردیف	اعضای هیأت داوران	نام و نام خانوادگی	رتبه علمی	امضا
۱	استاد راهنمای	تیمور توکلی هشتگین	استاد	
۲	استاد مشاور	سیامک علیزاده نیا	مربی	
۳	نماینده تحصیلات تکمیلی	غلامحسن نجفی	استادیار	
۴	استاد ناظر داخلی	غلامحسن نجفی	استادیار	
۵	استاد ناظر خارجی	غلامحسین رحیمی شعبانی	دانشیار	



بسمه تعالیٰ

آیین نامه چاپ پایان نامه (رساله) های دانشجویان دانشگاه تربیت مدرس

نظر به اینکه چاپ و انتشار پایان نامه (رساله) های تحصیلی دانشجویان دانشگاه تربیت مدرس، مبین بخشی از فعالیتهای علمی-پژوهشی دانشگاه است بنابراین به منظور آگاهی و رعایت حقوق دانشگاه، دانش آموختگان این دانشگاه نسبت به رعایت موارد ذیل متعهد می شوند:

ماده ۱ در صورت اقدام به چاپ پایان نامه (رساله)ی خود، مراتب را قبلًا به طور کتی به دفتر نشر آثار علمی دانشگاه اطلاع دهد.

ماده ۲ در صفحه سوم کتاب (پس از برگ شناسنامه)، عبارت ذیل را چاپ کند:

”کتاب حاضر، حاصل پایان نامه کارشناسی ارشد نگارنده در رشته مکانیک ماشین های کشاورزی است که در سال ۱۳۸۹ در دانشکده کشاورزی دانشگاه تربیت مدرس به راهنمایی جانب آقای دکتر تیمور توکلی هشتگین مشاوره جانب آفای مهندس سیامک علیزاده نیا از آن دفاع شده است“

ماده ۳ به منظور جبران بخشی از هزینه های انتشارات دانشگاه، تعداد یک درصد شمارگان کتاب (در هر نوبت چاپ) را به دفتر نشر آثار علمی دانشگاه اهدا کند. دانشگاه می تواند مازاد نیاز خود را به نفع مرکز نشر در معرض فروش قرار دهد.

ماده ۴ در صورت عدم رعایت ماده ۳، ۵۰٪ بهای شمارگان چاپ شده را به عنوان خسارت به دانشگاه تربیت مدرس، تأديه کند.

ماده ۵ دانشجو تعهد و قبول می کند در صورت خودداری از پرداخت بهای خسارت، دانشگاه می تواند خسارت مذکور را از طریق مراجع قضایی مطالبه و وصول کند، به علاوه به دانشگاه حق می دهد به منظور استیفای حقوق خود، از طریق دادگاه، معادل وجه مذکور در ماده ۴ را از محل توقیف کتابهای عرضه شده نگارنده برای فروش، تأمین نماید.

ماده ۶ اینجانب محمد کاظمی دانشجوی رشته مکانیک ماشین های کشاورزی مقطع کارشناسی ارشد تعهد فوق و ضمانت اجرایی آن را قبول کرده، به آن ملتزم می شوم.

محمد کاظمی

دستورالعمل حق مالکیت مادی و معنوی در مورد نتایج پژوهش های علمی دانشگاه تربیت مدرس

مقدمه : با عنایت به سیاست های پژوهشی دانشگاه در راستای تحقق عدالت و کرامت انسان ها که لازمه شکوفایی علمی و فنی است و رعایت حقوق مادی و معنوی دانشگاه و پژوهشگران، لازم است اعضای هیات علمی، دانشجویان، دانش آموختگان و دیگر همکاران طرح در مورد نتایج پژوهش های علمی که تحت عناوین پایان نامه، رساله و طرح های تحقیقاتی با هماهنگی دانشگاه انجام شده است، موارد ذیل را رعایت نمایند:

ماده ۱ - حقوق مادی و معنوی پایان نامه ها، رساله های مصوب دانشگاه متعلق به دانشگاه است و هر گونه بهره برداری از آن باید با ذکر نام دانشگاه و رعایت آیین نامه ها و دستورالعمل های مصوب دانشگاه باشد.

ماده ۲ - انتشار مقاله یا مقالات مستخرج از پایان نامه/رساله به صورت چاپ در نشریات علمی و یا ارائه در مجتمع علمی می باید به نام دانشگاه بوده و استاد راهنما نویسنده مسئول مقاله باشند.

تبصره : در مقالاتی که پس از دانش آموختگی به صورت ترکیبی از اطلاعات جدید و نتایج حاصل از پایان نامه و رساله منتشر می شود نیز باید نام دانشگاه درج شود.

ماده ۳ - انتشار کتاب حاصل از نتایج پایان نامه، رساله و تمامی طرح های تحقیقاتی دانشگاه باید با مجوز کتبی صادره از طریق حوزه پژوهشی دانشگاه و براساس آیین نامه های مصوب انجام شود.

ماده ۴ - ثبت اختراع و تدوین دانش فنی و یا ارائه در جشنواره های ملی، منطقه ای و بین المللی که حاصل نتایج مستخرج از پایان نامه، رساله و تمامی طرح های تحقیقاتی دانشگاه باید با هماهنگی استاد راهنما یا مجری طرح از طریق حوزه پژوهشی دانشگاه انجام گیرد.

ماده ۵ - این دستورالعمل در ۵ ماده و یک تبصره در تاریخ ۱۳۸۴/۴/۲۵ در شورای پژوهشی دانشگاه به تصویب رسیده و از تاریخ تصویب لازم الاجرا است و هرگونه تخلف از مفاد این دستورالعمل از طریق مراجعت قانونی قابل پیگیری خواهد بود.

کویندگان لعل شود در مقام صبر
آری شود و لیک بخون جگر شود

تقدیم به

مدر و مادرم

که بعد از خدا هر چه دارم
از آنهاست

.... و تمامی جویندگان واقعی علم



مشکر و قدرانی

ستایش و پاس، خالق، سی را سراست که علم را مایه مباهات قرارداد و براین بندگی کترین، منتگذارده و همواره هادی و راهنمایی بوده است. اکنون که به لطف ویاری خداوند متعال، مراحل نگارش و تدوین تحقیق به تمام رسیده است لازم می‌دانم مرتب استان و قدردانی فراوان خویش را تقدیم سرو رانی نمایم که ارائه پایان نامه حاضر مریون مساعدت‌هایی بی‌شایان بوده است.

در درجه اول پاس‌گذار خانواده محترم، هستم که تا این مرحله از زندگی ام همواره مشوق بندگی بوده‌اند. از استاد راهنمایی بزرگوارم جناب آقای دکتر تیمور توکلی، شجین که بزرگوارانه و دلوزانه با مساعدت‌هایی بی‌درین خویش راه‌کشای انجام تحقیق شدند، کمال مشکر و قدردانی را دارم. از جناب آقایان مهندس سیاک علیزاده نیا و مهندس حیدر آهنگری که مشاوره ایجادگران را بر عده داشتند و دطول انجام پژوهش با نظرات ارزشمند خود ایجادگران را بهره مند ساختند، و در این مدت علاوه بر یک همکار، دوست واقعی، نیز معلم اخلاق بودند، مشکر فراوان دارم. از استادان محترم ناظر پایان نامه جناب آقای دکتر غلامحسن نجفی و جناب آقای دکتر غلامحسن رحیمی شربافت که زحمت مطالعه پایان نامه را عده دار بودند و بارهایی با نظرات سازنده باعث غنی‌تر شدن پژوهش حاضر گردیدند نهایت قدردانی را می‌نمایم.

جاداره که مرتب مشکر خود را از مرکز تحقیقات موتویران خوردو شرکت ایپکو (I.P.Co) که حیات مالی و معنوی از این پایان نامه را داشتند و تمام هزینه‌های آنرا تقبل کردند، اعلام دارم بر خود لازم می‌دانم که از مهندسان و همکاران محترم در واحد محاسبات مهندسی (CAE) شرکت ایپکو جناب آقای مهندس احمدی، مهندس سلطانی، مهندس زیدی، مهندس رضایی، و مسئولین محترم او را پژوهش مهندس علیزاده، مهندس اسدزاده، آقای راه‌چمنی و نیز از سایر دوستان عزیز کمال مشکر و قدردانی را داشته باشم.

در پایان توفیق یکاک این عزیزان در مراحل مختلف زندگی را از خداوند ننان خواهند نمود.



چکیده:

مجموعه انتهای چشم کوچک شاتون، بوش برنزی، باس پیستون و گژنپین از جمله قطعات حساس درون موتور هستند که در شرایط کاری سخت و دمای بالا قرار دارد. در تحقیق حاضر به مطالعه جامع تحلیل تنش، خستگی و هیدرودینامیک روغن‌کاری و سطوح تماسی در مجموعه انتهای کوچک شاتون، باس پیستون، گژنپین و بوش برنزی موتور ملی EF7 پرداخته شد. برای هر تحلیل بیش از سه روش ارائه شد، آزمون تجربی کرنش‌سنجی و آزمون دوام جهت صحه‌گذاری نتایج تحلیل تنش و تحلیل خستگی انجام شد، از شبکه‌های عصبی برای پیش‌بینی پارامترهای روغن‌کاری حالات مختلف موتور استفاده شد.

نتایج این تحقیق نشان می‌دهد بیشترین نیروی عمودی (F_y) واردہ به گژنپین در دور ۴۰۰۰ rpm به میزان N ۴۲۳۷۳ در لحظه احتراق می‌باشد، که نرمافزار AVL EXCITE آن را نیز تایید و صحه‌گذاری می‌کند. بیشترین تنش و تغییر شکل بیضوی شدن به روش تحلیلی به ترتیب ۴۱۲ MPa و ۱۴۷ mm^{۰/۰۰} دور ۴۰۰۰ rpm موتور ملی پرخوران در لحظه احتراق رخ می‌دهد. بیشترین فشار سطوح تماسی به مقدار ۴۵/۴۲ MPa است، که این مقدار دقیقاً به روش اجزای محدود نیز بدست آمد. بیشترین تنش فون‌میسز به روش اجزای محدود به میزان ۴۱۸ در مرکز گژنپین بعد از احتراق در گره ۴۵۳ از المان ۱۴۴۴ در دور ۴۰۰۰ rpm رخ می‌دهد. اندازه‌گیری تجربی تنش تبعیت خوبی با نتایج مدل اجزای محدود را نشان داد. آن چنان که حداقل اختلاف بین نتایج تحلیل اجزای محدود تنش، به روش CAE و روش تجربی کرنش‌سنجی در دو المان شماره ۲۵۲۲ و ۲۱۲ بیش از ۳/۵٪ مشاهده نشد.

گره ۱۱۱۰ بحرانی‌ترین وضعیت به لحاظ تحلیل خستگی دارد. بیشترین آسیب خستگی به روش شمارش جریان باران و کمترین ضریب اطمینان خستگی در این گره به ترتیب به میزان $1/76 \times 10^{-1}$ و ۲/۸۴ در دور ۴۰۰۰ rpm به روش فون‌میسز استفاده شده در نرمافزار FEMFAT می‌باشد، که با نتایج کد نویسی در نرمافزار Matlab نیز تطابق دارد. نتایج آزمون دوام ۸۰۰ ساعته گژنپین، نحوه سایش واقعی آنرا نشان داد، گژنپین آسیب قابل ملاحظه‌ای نمی‌بیند و رتبه آن شماره ۱ معادل عالی می‌باشد.

بیشترین فشار هیدرودینامیک لایه روغن در دور ۳۵۰۰ rpm در ۳۷۲° زاویه لنگ (لحظه احتراق) در موتور EF7 پرخوران با سوخت CNG به میزان ۴۴۶ MPa در دمای کاری ۱۴۰°C رخ می‌دهد. در شرایط کمترین فشار هیدرودینامیک لایه روغن به میزان $1/83 \mu\text{m}$ می‌باشد، که احتمال سایش یاتاقان وجود دارد. نتایج حل عددی به روش FDM نیز نتایج مدل‌سازی یه کمک نرمافزار AVL را با تفاوت بسیار کمی صحه می‌گذارد. بهترین توپولوژی شبکه عصبی FFBP برای پیش‌بینی پارامترهای روغن‌کاری (بیشینه فشار و کمینه ضخامت) توسط شبکه عصبی ساختار ۲-۳۰-۶-۲۴-۸۵/۶ با الگوریتم آموزش trainlm و توابع آستانه tansig و dogsig و pureline می‌باشد. این شبکه در ۱۲۰ اتکرار در مدت ۰/۰۰۲۲۹ ثانیه با خطای یادگیری MSE (MSE) برای این توپولوژی برای الگوهای آموزش، ارزیابی و تست به ترتیب ۰/۰۰۱۳، ۰/۰۰۲۷ و ۰/۰۰۱۸ می‌باشد. ضریب همبستگی (R^2) نیز برای الگوهای آموزش، ارزیابی و تست به ترتیب ۰/۹۹۵۲، ۰/۹۹۸۸ و ۰/۹۹۶۵ می‌باشد.

کلمات کلیدی: موتور پرخوران EF7، گژنپین، چشم کوچک، باس پیستون، روش CAE، اجزای محدود، تحلیل تنش، عمر خستگی، سطوح تماسی، کرنش‌سنج، روغن‌کاری هیدرودینامیک، لقی، شبکه عصبی مصنوعی.

فهرست مطالب

صفحه	عنوان
	چکیده
الف	فهرست مطالب
ج	فهرست نمادها
د	فهرست شکل‌ها
ش	فهرست جداول
۱	فصل اول: مقدمه و هدف ۱
۱	۱-۱ مقدمه ۱
۱	۲-۱ بیان مسئله ۱
۴	۳-۱ اهداف ۱
۶	فصل دوم : مروری بر تحقیقات گذشته ۶
۶	۱-۲ مقدمه ۶
۶	۲-۲ مجموعه گزنپین، انتهای کوچک شاتون و باس پیستون ۶
۶	۳-۲ اهمیت، وظایف، انواع و مواد گزنپین ۶
۹	۴-۲ محاسبات مورد نیاز گزنپین ۹
۱۰	۵-۲ شبیه‌سازی و تحلیل به کمک کامپیوتر (CAE) ۱۰
۱۱	۶-۲ مروری بر مطالعات انجام شده ۱۱
۱۱	۱-۶-۲ مطالعات انجام شده در زمینه تحلیل تنش، خستگی و شکست ۱۱
۱۱	الف) تحلیل نظری تنش ۱۱
۱۴	ب) تحلیل اجزای محدود و تجربی تنش و خستگی ۱۴
۱۷	ج) تحلیل موادی شکست گزنپین و سایش ۱۷
۱۹	۲-۷-۲ مطالعات انجام شده در زمینه روانکاری ۱۹
۲۲	۷-۲ ویژگی‌های این تحقیق ۲۲

۲۵	فصل سوم : مواد و روش‌ها.....
۲۵	۱-۳ مقدمه
۲۵	۲-۳ مشخصات فنی موتور EF7
۲۶	۳-۳ اندازه‌گیری فشار احتراق
۲۸	۴-۳ تحلیل دینامیکی مکانیزم لنگ
۲۸	۴-۳ تحلیل سینماتیکی مکانیزم لنگ
۳۱	۴-۳ تحلیل سینیتیکی مکانیزم لنگ
۳۳	۵-۳ ویژگی‌های ساختاری و هندسی مجموعه گژن‌پین، باس پیستون و چشم کوچک
۳۴	۵-۳ خواص مکانیکی ماده
۳۵	۶-۳ تحلیل تنش
۳۶	۱-۶-۳ مدل نظری (ریاضیاتی).....
۳۶	۱-۱-۶-۳ تحلیل نظری توزیع تنش در گژن‌پین
۳۹	۲-۱-۶-۳ مدل‌سازی تداخل سطوح تماسی
۴۲	۲-۶-۳ تحلیل تنش به روش اجزای محدود
۴۳	۱-۲-۶-۳ تهیه مدل سه‌بعدی هندسی و اجزای محدود (المان‌بندی 3D)
۴۳	۱-۱-۲-۶-۳ ساخت مدل اجزای محدود (المان‌بندی 3D)
۴۵	۲-۱-۲-۶-۳ سنجش کیفیت المان بندی
۴۷	۳-۱-۲-۶-۳ مدل‌سازی سه بعدی اجزای محدود سطوح تماسی
۴۹	۲-۲-۶-۳ تعیین شرایط مرزی
۵۰	۳-۲-۶-۳ تعیین خواص مواد
۵۰	۴-۲-۶-۳ روش اجزای محدود تداخل سطوح تماسی
۵۱	۵-۲-۶-۳ بارگذاری
۵۴	۶-۲-۶-۳ فرایند آماده سازی کد تحلیل
۵۵	۷-۲-۶-۳ پس پردازش نتایج تحلیل تنش
۵۵	۳-۶-۳ روش تجربی و ارزیابی صحت تحلیل تنش
۵۵	۱-۳-۶-۳ طراحی فیکسچر
۵۶	۲-۳-۶-۳ نحوه نصب کرنش‌سنج
۵۸	۳-۳-۶-۳ نحوه انجام آزمون
۵۹	۷-۳ تحلیل مودال گژن‌پین
۶۰	۸-۳ تحلیل خستگی
۶۸	۱-۸-۳ تحلیل خستگی به روش نظری

۶۹	۲-۸-۳ تحلیل خستگی با استفاده از نرم افزار FEMFAT 4.6C
۷۱	۹-۳ تحلیل هیدرودینامیک لایه روغن
۷۲	۱-۹-۳ ویژگی روغن
۷۳	۲-۹-۳ تحلیل عددی
۷۳	۱-۲-۹-۳ فرمولسازی معادله رینولدز
۷۵	۲-۲-۹-۳ حل عددی معادله رینولدز به روش اختلاف محدود (FDM)
۷۶	۳-۲-۹-۳ تعیین ناحیه محاسباتی
۷۷	۴-۲-۹-۳ تولید شبکه مشبندی
۷۸	۵-۲-۹-۳ اعمال شرایط مرزی
۷۹	۶-۲-۹-۳ کد نویسی روش حل عددی اختلاف محدود
۷۹	۳-۹-۳ تحلیل مدلسازی نرم افزار AVL EXCITE
۸۱	۴-۹-۳ مدلسازی تحلیل هیدرودینامیک با استفاده از شبکه عصبی
۸۴	۱۰-۳ تعیین محدوده تحلیل در این پروژه

۸۶	فصل چهارم: نتایج و بحث
۸۶	۱-۴ مقدمه
۸۶	۲-۴ نتایج اندازه‌گیری فشار احتراق
۸۹	۳-۴ نتایج تحلیل دینامیکی و نیروهای وارد بر گزنپین
۸۹	۱-۳-۴ نتایج تحلیل سینماتیکی مکانیزم لنگ
۹۳	۲-۳-۴ نتایج تحلیل سیتیکی مکانیزم لنگ
۱۰۰	۴-۴ نتایج تحلیل مودال
۱۰۲	۴-۵ نتایج تحلیل تنش
۱۰۲	۱-۵-۴ نتایج تحلیل نظری تنش
۱۰۵	۲-۵-۴ نتایج تحلیل تنش به روش اجزای محدود
۱۰۵	۱-۲-۵-۴ نتایج تحلیل تنش
۱۱۱	۲-۲-۵-۴ نتایج تحلیل تداخل سطوح تماسی
۱۱۲	۳-۵-۴ نتایج آزمون کرنش‌سنگی
۱۱۴	۴-۵-۴ مقایسه نتایج تحلیل تنش
۱۱۶	۶-۴ نتایج تحلیل خستگی
۱۱۶	۱-۶-۴ نتایج تحلیل خستگی در نرم افزار FEMFAT

۱۱۹	۲-۶-۴ نتایج تحلیل نظری خستگی
۱۲۴	۳-۶-۴ نتایج آزمون دوام ۸۰۰ ساعته
۱۲۶	۷-۴ نتایج تحلیل روغن کاری
۱۲۶	۱-۷-۴ اثر دما بر لزجت دینامیکی روغن
۱۲۶	۲-۷-۴ نتایج تحلیل مدل سازی نرم افزار AVL EXCITE
۱۳۰	۱-۲-۷-۴ اثر فشار احتراق بر متغیرهای روغن کاری
۱۳۱	۲-۲-۷-۴ اثر دمای روغن بر متغیرهای روغن کاری
۱۳۳	۳-۲-۷-۴ اثر لقی بین بوش و گژن پین
۱۳۴	۴-۲-۷-۴ اثر سرعت دورانی موتور
۱۳۴	۳-۷-۴ نتایج تحلیل عددی
۱۳۶	۴-۷-۴ نتایج شبیه سازی با استفاده از شبکه های عصبی مصنوعی
۱۴۳	فصل پنجم: نتیجه گیری و پیشنهادها
۱۴۳	۱-۵ نتیجه گیری
۱۴۷	۲-۵ پیشنهادها برای تحقیقات آینده
۱۴۸	منابع
۱۵۲	پیوست
۱۵۲	پیوست الف: استاندارد مرجع مواد و ابعاد برای گژن پین
۱۵۴	پیوست ب: روش نصب کرنش سنج و محل قرار گیری آن
۱۵۴	ب-۱ روش آماده سازی نصب کرنش سنج
۱۵۶	ب-۲ محل های نصب کرنش سنج
۱۵۷	پیوست و: روش اندازه گیری زبری

فهرست نمادها

نماد	عنوان	واحد
A	مساحت سطح پیستون	m^2
d	قطر سیلندر	m
R	جابجایی پیستون از مرکز میل لنگ	m
CR	شعاع لنگ	m
	طول موثر شاتون (فاصله مرکز چشم کوچک تا چشم بزرگ)	m
	نسبت تراکم موتور	-
V	حجم جابجایی سیلندر	m^3
V_f	حجم محفظه احتراق	m^3
V_t	حجم کل جابجایی سیلندر	m^3
v	سرعت پیستون	m/s
a	شتاب پیستون	m/s^2
m	جرم پیستون	kg
F_{N_c}	نیروی عمودی جداره سیلندر به پیستون	N
F_{N_w}	نیروی قایم وارد به گزنپین	N
F_{N_s}	نیروی ناشی از فشار احتراق	N
F_{N_e}	نیروی اینرسی	N
F_{N_d}	نیروی واردہ به شاتون	N
F_{N_f}	نیروی های فعال بروی گزنپین	N
F_{N_l}	نیروی شعاعی	N
F_{N_m}	نیروی مماسی	N
p	فشار لحظه‌ای داخل سیلندر	Pa

Pa	فشار اتمسفر
mm	طول گژنپین
mm	قطر خارجی گژنپین
mm	قطر داخلی گژنپین
mm	فاصله بین باس‌های پیستون
mm	طول سطح تماس گژنپین با چشم کوچک شاتون
GPa	ضریب الاستیسیته
Pa	تنش خمشی
Pa	تنش شعاعی
Pa	تنش برشی مماسی
mm	حداکثر تغییر شکل گژنپین
Pa	تنش ناشی از ضربه
mm	لقی شعاعی
Pa	تنش بیشینه و تنش کمینه σ_{\min} و σ_{\max}
Pa	تنش دامنه و تنش میانگین σ_m و σ_a
-	نسبت تنش کمینه به تنش بیشینه
-	عمر خستگی
Pa	ضریب استحکام خستگی در کشش و برش τ'_f و σ'_f
-	نمای استحکام خستگی در کشش و برش b_f و b
Pa	مقاومت خستگی
Pa	تنش تسليم
Pa	تنش حد کششی
-	ضریب اطمینان
Pa	تنش‌های اصلی در میدان سه محوره σ_3, σ_2 و σ_1
Pa	تنش معادل فون‌میسز

Pa	تنش نرمال
Pa	تنش برشی معادل
-	پارامترهای آسیب فایندلی k و f
	استحکام خستگی برشی ترک نوع A و B
-	آسیب خستگی
	میانگین ارتفاع زبری‌ها
	جذر میانگین مربعات ارتفاع زبری‌ها
	فشار و ضخامت هیدرودینامیک لایه روغن $h_{i,j}$ و $p_{i,j}$

علامیم یونانی

-	نسبت قطر داخلی به قطر خارجی گُثُن‌پین
1/ $^{\circ}\text{C}$	ضریب انبساط طولی
deg	زاویه شاتون با محور مرکزی سیلندر
deg	زاویه چرخش میل لنگ
deg	زاویه استقرار نقاط بروی گُثُن‌پین
-	نسبت شعاع میل لنگ به طول شاتون
rad/s	سرعت زاویه‌ای میل لنگ (سرعت زاویه‌ای موتور)
-	ضریب پواسن
rad/s	سرعت زاویه‌ای چشم کوچک شاتون نسبت مرکز جرم شاتون
kg/m ³	چگالی
Pa.s	لزجت دینامیکی روغن
mm	تغییر شکل
-	نسبت خروج از مرکز

فهرست شکل

صفحه

عنوان

شکل ۱-۲ : مدل هندسی نحوه قرار گیری مجموعه انتهای کوچک شاتون، گزنپین و باس پیستون ...	۷
شکل ۲-۲ : اشکال مختلف انواع گزنپین ۷	
شکل ۳-۲ : مدل نیرویی Schlaefke واردہ به گزنپین (Anonymous, 2008) ۱۱	
شکل ۴-۲ : (الف) مدل نیروی واردہ به پین، ب) توزیع بار سینوسی در صفحه شعاعی گزنپین ۱۲	
شکل ۵-۲ : (الف) هندسه قرار گیری گزنپین، ب) شماتیک نیروی واردہ به گزنپین ۱۳	
شکل ۶-۲ : دیاگرام آزاد نیروی واردہ به گزنپین ۱۳	
شکل ۷-۲ : (الف) نمایش سیستم مختصات مجموعه، ب) مدل سه بعدی اجزای محدود ۱۵	
شکل ۸-۲ : مدل صفحه‌ای بار واردہ به گزنپین (Strozzi and Bona; 2005) ۱۶	
شکل ۹-۲ : (الف) المان‌بندی ، ب) تنش ناشی از تداخل چشم کوچک شاتون ۱۶	
شکل ۱۰-۲ : (الف) اجزای گزنپین شکسته، ب) مقطع عرضی شکست گزنپین ۱۸	
شکل ۱۱-۲ : دستگاه تست گزنپین با الکتروموتور، سیستم رفت و برگشتی لغزنه و گزنپین ۱۸	
شکل ۱۲-۲ : (الف) شماتیک نیروها و سیستم اندازه‌گیری، ب) نصب حسگر در ساق شاتون ۱۹	
شکل ۱۳-۲ : کمینه ضخامت روغن در یک چرخه بارگذاری (Zhang et al., 2004) ۲۰	
شکل ۱۴-۲: سامانه رایانه‌ای اندازه‌گیری فشار لایه روغن و اصطکاک ۲۱	
شکل ۱-۳: نمای از موتور ملی EF7 پرخوران ۲۵	
شکل ۲-۳ : (الف) نمایی از حسگر کواترترز (SiO ₂)، ب) حسگر نصب شده بروی شمع موتور به منظور اندازه‌گیری فشار داخل سیلندر ۲۷	
شکل ۳-۳ : هندسه مکانیزم لنگ-لغزنه موتور و حرکت پیستون ۲۹	
شکل ۴-۳ دیاگرام آزاد نیروهای وارد بر (الف) مجموعه مکانیزم لنگ، ب) پین پیستون ۳۱	
شکل ۵-۳ : نمودار توزیع جرمی مجموعه (الف) بصورت کامل، ب) فقط پیستون، رینگ و گزنپین ۳۴	
شکل ۶-۳ : نمایش ابعاد مجموعه ۳۷	
شکل ۷-۳ (الف) توزیع تنش محیطی ناشی از بار سینوسی در گزنپین، ب) توزیع بار سینوسی در صفحه شعاعی گزنپین ۳۷	
شکل ۸-۳ : مختصات استوانه‌ای گزنپین ۳۸	

۴۰	شکل ۹-۳ : طرح انقباق تماسی در بوش برنجی شاتون (پرسی).....
۴۲	شکل ۱۰-۳ : نمودار روند نمای فرایند CAE انجام شده برای تحلیل.....
۴۴	شکل ۱۱-۳ : نمای هندسه المان‌ها - الف) المان شش وجهی، ب) المان چهار وجهی درجه ۲.....
۴۵	شکل ۱۲-۳ : دو نما از هندسه و شبکه بنده مجموعه مدل‌سازی شده.....
۴۶	شکل ۱۳-۳ : نمایی از تنظیمات کیفیت المان‌ها 3D در نرم‌افزار Hypermesh.....
۴۷	شکل ۱۴-۳ : نمای روپرتوی هندسه مجموعه انتهای کوچک شاتون و اندرنکنش بین آن‌ها.....
۴۸	شکل ۱۵-۳ : سطوح تماسی الف) در دو طرف بوش، ب) در مرز سطوح باس پیستون و گژن‌پین.....
۴۹	شکل ۱۶-۳ : شرایط مرزی در صفحه تقاضن ZX و ZY (۱۱۸۹ گره).....
۵۰	شکل ۱۷-۳ : مدل‌سازی طرح انقباق تماسی (تداخل فشاری).....
۵۰	شکل ۱۸-۳ : کد Abaqus مربوط مدل‌سازی طرح انقباق تماسی (تداخل فشاری).....
۵۱	شکل ۱۹-۳ : کد Abaqus مربوط اعمال شرایط مرزی دما.....
۵۲	شکل ۲۰-۳ : کد Abaqus مربوط تحلیل سطوح تماسی.....
۵۲	شکل ۲۱-۳ : کد Abaqus مربوط اعمال شرایط مرزی دما.....
۵۳	شکل ۲۲-۳: نحوه بارگذاری.....
۵۶	شکل ۲۲-۳: نمای واقعی فیکسچر آزمون کشش-فشار شاتون نصب شده بر دستگاه آزمون مواد و نمای طراحی شده آن در نرم‌افزار SolidWork.....
۵۷	شکل ۲۳-۳: محل نصب کرنش سنج بروی گژن‌پین و چشم کوچک
۵۸	شکل ۲۴-۳ : تنظیم و نصب دستگاه جهت اندازه‌گیری کرنش.....
۵۹	شکل ۲۵-۳ : مولتی متر خوانش و ثبت خروجی (مقاومت الکتریکی) کرنش سنج‌ها.....
۵۹	شکل ۲۶-۳ : مدل سه بعدی کامل اجزای محدود گژن‌پین جهت تحلیل مودال.....
۶۱	شکل ۲۷-۳ : نمودار S-N با استفاده از نتیجه آزمون‌های خستگی محوری کاملاً معکوس شونده
۶۳	شکل ۲۸-۳ : روش شمارش جریان باران.....
۶۷	شکل ۲۹-۳ : تعیین آسیب تجمعی از منحنی تنش- زمان و منحنی S-N.....
۷۱	شکل ۳۰-۳ : ضرایب اصطکاک در اجزای موتور (Tung and McMillan; 2004).....
۷۴	شکل ۳۱-۳: سیستم مختصات و نمادها.....
۷۷	شکل ۳۲-۳ : ناحیه محاسباتی برای تولید شبکه
۷۷	شکل ۳۳-۳ : شبکه M×N تولید شده برای حل روش اختلاف محدود.....
۷۸	شکل ۳۴-۳ : شبیه‌سازی سطوح یاتاقان بصورت شبیدار خطی.....
۷۹	شکل ۳۵-۳ : مدل پنج نقطه‌ای جهت محاسبه فشار و ضخامت لایه روغن در معادله رینولدز.....

شکل ۳۶-۳ : نمودار روند نمای تحلیل هیدرودینامیک لایه روغن	۸۰
شکل ۳۷-۳ : مدل سازی موتور EF7 در نرم افزار AVL EXCITE	۸۰
شکل ۳۸-۳ : ساختار شبکه تک لایه	۸۱
شکل ۳۹-۳ : ساختار عمومی شبکه عصبی مصنوعی مورد استفاده	۸۳
 شکل ۱-۴ : فشار درون سیلندر موتور EF7 پرخوران با سوخت گاز طبیعی در دورهای مختلف	۸۷
شکل ۲-۴ : فشار درون سیلندر موتور EF7 پرخوران با سوخت بنزین در دورهای مختلف	۸۷
شکل ۳-۴ : فشار درون سیلندر موتور EF7 تنفس طبیعی، سوخت گاز طبیعی در دورهای مختلف	۸۸
شکل ۴-۴ : فشار درون سیلندر موتور EF7 تنفس طبیعی با سوخت بنزین در دورهای مختلف	۸۸
شکل ۵-۴ : فشار بیشنه درون سیلندر موتور EF7 در حالتها مختلف	۸۸
شکل ۶-۴ : (الف) فشار درون سیلندر ب) نمودار اندیکاتوری، موتور EF7 در حالتها مختلف	۸۹
شکل ۷-۴ : تغییرات جابجایی حجم کل و جابجایی پیستون نسبت به مرکز میل لنگ	۹۰
شکل ۸-۴ : جابجایی زاویه‌ای چشم کوچک نسبت به خط مرکزی سیلندر	۹۰
شکل ۹-۴ : پروفیل سرعت خطی پیستون در سه سرعت دورانی مختلف میل لنگ	۹۱
شکل ۱۰-۴ : پروفیل شتاب خطی پیستون در سه سرعت دورانی مختلف میل لنگ	۹۱
شکل ۱۱-۴ : پروفیل سرعت نسبی چشم کوچک شاتون نسبت به مرکز جرم شاتون	۹۲
شکل ۱۲-۴ : پروفیل نیروی ناشی از فشار درون سیلندر	۹۳
شکل ۱۳-۴ : پروفیل نیروی اینرسی ناشی از حرکت رفت و برگشتی قطعات	۹۴
شکل ۱۴-۴ : پروفیل برایند نیروی‌های عمودی (نیروی فعال) واردہ به گژن‌پین	۹۴
شکل ۱۵-۴ : بیشینه نیروهای گاز، اینرسی و برآیند نیروهای واردہ به گژن‌پین در دورهای مختلف	۹۵
شکل ۱۶-۴ : پروفیل نیروهای واردہ گژن‌پین در دور rpm ۵۵۰۰	۹۶
شکل ۱۷-۴ : پروفیل نیروهای واردہ گژن‌پین در دور rpm ۴۰۰۰	۹۶
شکل ۱۸-۴ : پروفیل نیروی جانبی واردہ بر گژن‌پین	۹۷
شکل ۱۹-۴ : پروفیل نیروی عمودی و جانبی واردہ گژن‌پین در دور rpm ۵۵۰۰	۹۸
شکل ۲۰-۴ : پروفیل نیروی عمودی و جانبی واردہ گژن‌پین در دور rpm ۴۰۰۰	۹۸
شکل ۲۱-۴ : پروفیل نیروی عمودی واردہ بر گژن‌پین در دور rpm ۴۰۰۰ موتور ملی پرخوران با سوخت CNG در سیلندرهای مختلف	۹۹
شکل ۲۲-۴ : پروفیل نیروی جانبی واردہ بر گژن‌پین در دور rpm ۴۰۰۰ موتور ملی پرخوران با سوخت CNG در سیلندرهای مختلف	۹۹

شکل ۴-۲۳ : شکل مودهای اول تا دهم تحلیل مودال گژنپین ۱۰۱
شکل ۴-۲۴ : پروفیل بیشینه تغییر شکل گژنپین ۱۰۲
شکل ۴-۲۵ : پروفیل تنش برشی گژنپین ۱۰۳
شکل ۴-۲۶ : پروفیل تنش خمشی گژنپین ۱۰۳
شکل ۴-۲۷ : پروفیل تنش شعاعی در چهار نقطه مختلف گژنپین در دور ۴۰۰۰ rpm ۱۰۴
شکل ۴-۲۸ : پروفیل تنش شعاعی در نقطه ۲ شکل گژنپین ۱۰۴
شکل ۴-۲۹ : کانتور تنش فونمیسز در مرحله الف) دوم(سطح تماسی) و ب) سوم(اعمال دما) ۱۰۵
شکل ۴-۳۰ : کانتور تنش فونمیسز در زاویه الف) ۳۷۱ و ب) ۱ درجه ۱۰۶
شکل ۴-۳۱ : کانتور شش مولفه تنش در زاویه ۳۷۱ درجه ۱۰۷
شکل ۴-۳۲ : کانتور تغییر شکل گژنپین در زاویه الف) ۳۷۱ و ب) ۱ درجه ۱۰۸
شکل ۴-۳۳ : محل قرارگیری گرههای انتخاب شده برای مقایسه نتایج و تحلیل خستگی ۱۰۸
شکل ۴-۳۴ : پروفیل تنش فونمیسز و تغییر شکل در خط مرکزی Int و Ext در دور ۴۰۰۰ ۱۰۹
شکل ۴-۳۵ : تنش فونمیسز در شش گره ۴۵۳، ۸۴۸، ۲۰۷، ۴۳۴، ۸۰۷ و ۱۱۱ در دور ۴۰۰۰ ۱۱۰
شکل ۴-۳۶ : شش مولفه تانسور تنش و تنش فونمیسز در گره ۴۵۳ در دور ۴۰۰۰ rpm ۱۱۰
شکل ۴-۳۷ : بیشینه تنش فونمیسز در شش گره انتخابی در مرحله ۶ تحلیل ۱۱۱
شکل ۴-۳۸ : کانتور فشار تماسی در مرحله ۲ و ۶ (تداخل و برایند نیروها) در دور ۴۰۰۰ rpm ۱۱۲
شکل ۴-۳۹ : کرنش ۱۱۴ اندازه‌گیری شده توسط کرنش‌سنجهای در اثر بار فشاری و کششی ۱۱۳
شکل ۴-۴۰ : مقایسه نتایج تحلیل تنش به روش تجربی (TEST) با روش اجزای محدود (CAE) ۱۱۵
شکل ۴-۴۱ : کانتور تنش الف) بیشینه و ب) کمینه در زاویه ۳۷۱ درجه در دور ۴۰۰۰ rpm ۱۱۶
شکل ۴-۴۲ : کانتور تنش الف) دامنه و ب) میانگین در زاویه ۳۷۱ درجه در دور ۴۰۰۰ rpm ۱۱۶
شکل ۴-۴۳ : نمودارهای الف) تنش-کرنش و ب) تنش-عمر (S-N) فولاد 17Cr3 (S-N) ۱۱۷
شکل ۴-۴۴ : الف) نمودار خستگی (haigh) و ب) اطلاعات مهندسی فولاد 17Cr3 ۱۱۷
شکل ۴-۴۵ : کانتور الف) آسیب و ب) ضریب اطمینان خستگی در زاویه ۳۷۱، و دور ۴۰۰۰ ۱۱۸
شکل ۴-۴۶ : کانتور الف) آسیب و ب) ضریب اطمینان خستگی در زاویه ۳۷۱، و دور ۵۵۰۰ ۱۱۸
شکل ۴-۴۷ : کانتور الف) آسیب و ب) ضریب اطمینان خستگی در زاویه ۳۷۱، و دور ۶۰۰۰ ۱۱۸
شکل ۴-۴۸ : شمارش بارش باران تنش فونمیسز در گره ۴۵۳ در دور ۴۰۰۰ rpm ۱۱۹
شکل ۴-۴۹ : مقایسه تنش بیشینه، کمینه، دامنه و میانگین در شش المان انتخابی در دور ۴۰۰۰ ۱۲۰
شکل ۴-۵۰ : تغییرات تنش الف) نرمال و ب) تنش برشی در داخل المان ۱۴۴۴ در دور ۴۰۰۰ ۱۲۱
شکل ۴-۵۱ : نحوه سایش و خستگی واقعی گژنپین بعد از آزمون دوام ۸۰۰ ساعت ۱۲۴